

计算电磁学

Computational Electromagnetism

第5章 时域有限差分法 (FDTD) (二)

张洪欣
电子工程学院

§ 5.5 吸收边界条件

时域有限差分法的一个重要特点是，需要在计算的全部区域建立 Yee 氏网格计算空间。

对辐射，散射等开放性问题，所需网格空间无限大，然而，计算机存储空间有限，因此，在实际计算中总是在某处将网格空间截断，这必然会在截断处产生非物理的电磁波反射。导致计算精度下降，必须设法消除之。

要求一种截断边界网格点处场的特殊计算方法，不仅要保证边界场计算的精度，还要消除非物理因素引起的截断边界处的波的反射，使得用有限网格空间就能模拟电磁波在无界空间中的传播。加于边界场的这种算法称为辐射边界条件或吸收边界条件。

1. 一维单向波与吸收边界条件

令场量 ϕ 沿 $-\hat{x}$ 方向传播，则 ϕ 必满足如下方程

$$\left[\frac{\partial}{\partial x} - \frac{1}{v} \frac{\partial}{\partial t} \right] \phi(x, t) = 0 \quad (5-45)$$

上式称为沿 $-\hat{x}$ 方向的单向波，方程解的形式为

$$\phi(x, t) = f(x + vt)$$

- 时域Maxwell微分方程组（理想介质）
- ### 1. Maxwell偏微分方程的高阶问题

- Faraday's Equation

$$\nabla \times \vec{E}(x, y, z, t) = - \frac{\partial \vec{B}(x, y, z, t)}{\partial t}$$

- Ampère's Equation

$$\nabla \times \vec{H}(x, y, z, t) = \frac{\partial \vec{D}(x, y, z, t)}{\partial t}$$

MUR吸收边界条件

- 吸收边界是在截断边界上吸收传输过来的电磁波，在截断边界处**只有向外传输的波**即只有一个方向的单向波。
- 波动方程有两个解：**前向波和后向波**。这样在截断边界上的场**满足其中一个单向波解**，就像正常空间中的电磁波一样传输（吸收），这是MUR吸收边界条件的原理
- 采用**数学算子分解**方法说明MUR吸收边界的处理过程

通常在一维情况下，会存在 x 和 $-x$ 方向的两个单向波。此时它们满足

$$\left(\frac{\partial}{\partial x} + \frac{1}{v} \frac{\partial}{\partial t} \right) \phi = 0 \quad \left(\frac{\partial}{\partial x} - \frac{1}{v} \frac{\partial}{\partial t} \right) \phi = 0$$

令算子 $L_1^- = \frac{\partial}{\partial x} - \frac{1}{v} \frac{\partial}{\partial t}$ $L_1^+ = \frac{\partial}{\partial x} + \frac{1}{v} \frac{\partial}{\partial t}$

则算子 $L = L_1^- \cdot L_1^+ = \frac{\partial^2}{\partial^2 x} - \frac{1}{v^2} \frac{\partial^2}{\partial^2 t}$

显然， **$L\phi = 0$ 是一维情况下的波动方程。**

可得到一维情况下的差分格式。

$$L_1^- \phi = \frac{\partial \phi}{\partial x} - \frac{1}{v} \frac{\partial \phi}{\partial t} = 0$$

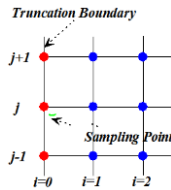
设截断边界为 $x=0$ 处，由上式

$$\frac{\partial}{\partial x} \phi(x, t) \Big|_{x=0} = \frac{1}{v} \frac{\partial}{\partial t} \phi(x, t) \Big|_{x=0}$$

采用**前向差商**近似， x 方向的空间步长为 Δx ，时间步长为 Δt ，并且令 $x=0$ 时，则差分形式为

$$\frac{\phi^n(1) - \phi^n(0)}{\Delta x} = \frac{1}{v \Delta t} [\phi^{n+1}(0) - \phi^n(0)]$$

$$\phi^{n+1}(0) = \phi^n(0) \left(1 - \frac{v \Delta t}{\Delta x}\right) + \frac{v \Delta t}{\Delta x} \phi^n(1) \quad (5-45)$$



$$\phi^{n+1}(0) = \phi^n(0) \left(1 - \frac{v \Delta t}{\Delta x}\right) + \frac{v \Delta t}{\Delta x} \phi^n(1)$$

若 $\Delta x = v \Delta t$ ，则

$$\phi^{n+1}(0) = \phi^n(1) \quad (5-48)$$

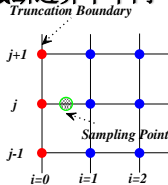
意味着，在满足**稳定性条件**下，满足(5-45)的波具有如下特性：

处于 $i=0$ 处时间步为 $n+1$ 时的波，正好是处于 $i=1$ 时间步 n 时的波。说明该波的运动在一个时间步长内移动一个网格步长，好像不存在反射，不存在边界一样，故以上条件称为吸收边界条件。

MUR1差分格式

- 一阶近似解析吸收边界条件进行差分离散，**如何进行差分离散？**
- 因为Yee元胞上有限差分是**二阶精度**。在截断边界上，只有一方向上有网格，若在截断边界上对一阶空间偏导数进行差分，只有一阶精度。
- 因此对公式的**离散取样点**放在离截断边界半个网格上

$$\frac{\partial U}{\partial x} - \frac{1}{c} \frac{\partial U}{\partial t} \Big|_{(1/2, j)} = 0$$

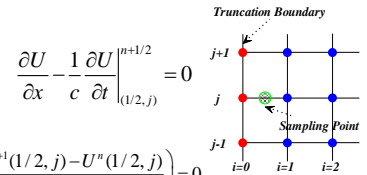


MUR1差分格式

- 进行差分离散
- 取样点在时间和空间**半取样**，但截断边界上**电场分量是整网格和整时间步长**上取样，因此对半取样进行插值平均计算

$$U^{n+1/2}(1, j) = \frac{1}{2} [U^{n+1}(1, j) + U^n(1, j)]$$

$$U^n(1/2, j) = \frac{1}{2} [U^n(0, j) + U^n(1, j)]$$



MUR1差分格式

- 整理成显式格式

$$U^{n+1}(0, j) = U^n(1, j) + \frac{c \Delta t - \Delta x}{c \Delta t + \Delta x} [U^{n+1}(1, j) - U^n(0, j)]$$

- 同理，在 x 最大方向

$$U^{n+1}(i_{\max}, j) = U^n(i_{\max} - 1, j) + \frac{c \Delta t - \Delta x}{c \Delta t + \Delta x} [U^{n+1}(i_{\max} - 1, j) - U^n(i_{\max}, j)]$$

- 各截断边界的一阶吸收边界条件写成统一格式

$$U^{n+1}(m_b) = U^n(m_n) + \frac{c \Delta t - \delta}{c \Delta t + \delta} [U^{n+1}(m_n) - U^n(m_b)]$$

2. 二维和三维单向波方程

与一维波动问题相仿，设二维问题中任一场分量为 $\phi(x, y, t)$ ，则对无源区有波动方程

$$\left(\frac{\partial^2}{\partial x^2} + \frac{\partial^2}{\partial y^2} - \frac{1}{v^2} \frac{\partial^2}{\partial t^2} \right) \phi = 0 \quad (5-49)$$

定义算子，并因子分解

$$L_2 = \frac{\partial^2}{\partial x^2} + \frac{\partial^2}{\partial y^2} - \frac{1}{v^2} \frac{\partial^2}{\partial t^2} \quad (5-50)$$

$$L_2 \phi = L_2^+ L_2^- \phi = 0 \quad (5-51)$$

其中

$$L_2^+ = \frac{\partial}{\partial x} + \frac{1}{v} \frac{\partial}{\partial t} \sqrt{1-s^2}$$

$$L_2^- = \frac{\partial}{\partial x} - \frac{1}{v} \frac{\partial}{\partial t} \sqrt{1-s^2}$$

$$s = v \frac{\partial}{\partial y} / \frac{\partial}{\partial t}$$

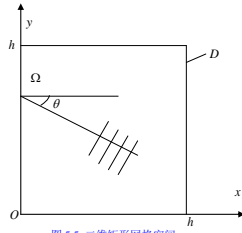


图 5.5 二维矩形网格空间

在二维和三维的问题中，波可以以任何方向投射到边界上。D为二维域内部，边界为Ω。

可以证明，当把 L_2^- 作用到边界 $x=0$ 的 $\phi(x, y, t)$ 时， ϕ 可以从任意角度从 Ω 内部入射到 $x=0$ 边界的平面波，都会被边界所吸收。

$$L_2^- = \frac{\partial}{\partial x} - \frac{1}{v} \frac{\partial}{\partial t} \sqrt{1-s^2}$$

也就是说

$$L_2^- \phi = 0 \quad (x=0) \quad (5-53)$$

就是保证从 Ω 内部以任意角度入射到 $x=0$ 边界的平面波 ϕ 的精确的解析吸收边界条件。

以FDTD模拟沿任何方向传播，要求抵达边界D的均为外行数字波（无反射），而边界对外行数字波而言相当于计算网格空间无限扩展。即边界处场量满足单向波方程。

所需的吸收边界条件不仅要求在 $\theta=0$ 时不存在截断边界的反射，而且应在尽量大的 θ 取值范围内满足单向波条件。

同样，将 L_2^+ 作用到边界 $x=h$ 的 $\phi(x, y, t)$ ，即

$$L_2^+ \phi = 0 \quad (x=h) \quad (5-54) \quad L_2^+ = \frac{\partial}{\partial x} + \frac{1}{v} \frac{\partial}{\partial t} \sqrt{1-s^2}$$

就是 $x=h$ 处的吸收边界条件。

对图 5.5 中 $y=0$ 和 $y=h$ 的两个边界，只要将以上分析中

的 $x, y, \frac{\partial}{\partial x}, \frac{\partial}{\partial y}$ 互换，就可获得 y 坐标的两个边界面的精确的吸收边界条件。

对三维空间域，波动方程为

$$\left(\frac{\partial^2}{\partial x^2} + \frac{\partial^2}{\partial y^2} + \frac{\partial^2}{\partial z^2} - \frac{1}{v^2} \frac{\partial^2}{\partial t^2} \right) \phi = L_3 \phi = 0 \quad (5-55)$$

$$\text{令 } L_3 = L_3^+ L_3^-, \text{ 则 } L_3^\pm = \frac{\partial}{\partial x} \pm \frac{1}{v} \frac{\partial}{\partial t} \sqrt{1-D^2}$$

$$D = v \left[\left(\frac{\partial}{\partial y} / \frac{\partial}{\partial t} \right)^2 + \left(\frac{\partial}{\partial z} / \frac{\partial}{\partial t} \right)^2 \right]^{\frac{1}{2}} \quad (5-56)$$

垂直于x轴边界面处的吸收边界条件

同理，可得 y 和 z 轴的另外四个边界面处的吸收边界条件。由于 $x, y,$ 和 z 坐标的等价性，易求得与 (5-56) 类似的精确吸收边界条件。

一维情况下的波动方程

在 x 和 $-x$ 方向的两个单向波。此时它们满足

$$\left(\frac{\partial}{\partial x} + \frac{1}{v} \frac{\partial}{\partial t} \right) \phi = 0 \quad \left(\frac{\partial}{\partial x} - \frac{1}{v} \frac{\partial}{\partial t} \right) \phi = 0$$

$$\text{令算子 } L_1^- = \frac{\partial}{\partial x} - \frac{1}{v} \frac{\partial}{\partial t} \quad L_1^+ = \frac{\partial}{\partial x} + \frac{1}{v} \frac{\partial}{\partial t}$$

$$\text{则算子 } L = L_1^- \cdot L_1^+ = \frac{\partial^2}{\partial x^2} - \frac{1}{v^2} \frac{\partial^2}{\partial t^2}$$

显然， $L\phi = 0$ 是一维情况下的波动方程。

二维:
$$L_2^+ = \frac{\partial}{\partial x} + \frac{1}{v} \frac{\partial}{\partial t} \sqrt{1-s^2}$$

$$L_2^- = \frac{\partial}{\partial x} - \frac{1}{v} \frac{\partial}{\partial t} \sqrt{1-s^2}, \quad s = v \frac{\partial}{\partial y} / \frac{\partial}{\partial t}$$

三维: $L_3 = L_3^+ L_3^-$, 则
$$L_3^\pm = \frac{\partial}{\partial x} \pm \frac{1}{v} \frac{\partial}{\partial t} \sqrt{1-D^2}$$

$$D = v \left[\left(\frac{\partial}{\partial y} / \frac{\partial}{\partial t} \right)^2 + \left(\frac{\partial}{\partial z} / \frac{\partial}{\partial t} \right)^2 \right]^{\frac{1}{2}}$$

以二维空间场为例, G.Mur于1981年给出了 *FTD* 吸收边界条件的二阶近似形式, 即将根号部分以Taylor级数展开:

$$\sqrt{1-s^2} \approx 1 - \frac{s^2}{2} \longrightarrow L_2^- = \frac{\partial}{\partial x} - \frac{1}{v} \frac{\partial}{\partial t} \sqrt{1-s^2}$$
$$\left[\frac{\partial}{\partial x} - \frac{1}{v} \frac{\partial}{\partial t} + \frac{v}{2} \left(\frac{\partial}{\partial y} \right)^2 / \frac{\partial}{\partial t} \right] f = 0 \quad (5-58) \quad s = v \frac{\partial}{\partial y} / \frac{\partial}{\partial t}$$

以 $\frac{\partial}{\partial t}$ 乘上式两边 **二阶近似的单向波方程**

$$\left[\frac{\partial^2}{\partial x \partial t} - \frac{1}{v} \frac{\partial^2}{\partial t^2} + \frac{v}{2} \frac{\partial^2}{\partial y^2} \right] f = 0 \quad (5-59)$$

例如, 考虑三维空间中 $x = 0$ 的边界的吸收边界条件为式 (5-56),

$$L_3 \phi = 0 \quad (x = 0)$$

利用近似 $\sqrt{1-D^2} \approx 1 - \frac{D^2}{2}$, 则可导出 G.Mur 的一种

近似吸收边界条件:

$$\left[\frac{\partial^2}{\partial x \partial t} - \frac{1}{v} \frac{\partial^2}{\partial t^2} + \frac{v}{2} \left(\frac{\partial^2}{\partial y^2} + \frac{\partial^2}{\partial z^2} \right) \right] f = 0 \quad (5-65)$$

3. 近似吸收边界条件

理论推出的精确吸收边界条件的算子中, 包含一个根号部分。它不适合直接进行数值计算。在 *FTD* 中是将此根号部分以近似形式给出。故称为近似吸收边界条件。

这种近似会在边界上出现某种数量的反射, 问题是取怎样的近似能使反射在尽管宽的入射角范围内减到最小。

(5-59) 是 G.Mur 二阶近似吸收边界条件, 适用于二维问题的求解, 此外, Trefethen 和 Holpern 于 1985 年提出了一般性的七种近似方法, 它们是:

- Pade法
- 亚区间上的 Chebyshev 法
- Chebyshev 点插值法
- 最小二乘法
- Chebushev--- Pade 法
- Newman 点插值法
- Chebyshev 法

二阶近似	
$\left[\frac{1}{c} \frac{\partial^2}{\partial x \partial t} - \frac{1}{c^2} \frac{\partial^2}{\partial t^2} + \frac{1}{2} \left(\frac{\partial^2}{\partial y^2} + \frac{\partial^2}{\partial z^2} \right) \right] f \Big _{x=0} = 0$	
$\left[\frac{1}{c} \frac{\partial^2}{\partial x \partial t} + \frac{1}{c^2} \frac{\partial^2}{\partial t^2} - \frac{1}{2} \left(\frac{\partial^2}{\partial y^2} + \frac{\partial^2}{\partial z^2} \right) \right] f \Big _{x=a} = 0$	
$\left[\frac{1}{c} \frac{\partial^2}{\partial y \partial t} - \frac{1}{c^2} \frac{\partial^2}{\partial t^2} + \frac{1}{2} \left(\frac{\partial^2}{\partial x^2} + \frac{\partial^2}{\partial z^2} \right) \right] f \Big _{y=0} = 0$	
$\left[\frac{1}{c} \frac{\partial^2}{\partial y \partial t} + \frac{1}{c^2} \frac{\partial^2}{\partial t^2} - \frac{1}{2} \left(\frac{\partial^2}{\partial x^2} + \frac{\partial^2}{\partial z^2} \right) \right] f \Big _{y=b} = 0$	
$\left[\frac{1}{c} \frac{\partial^2}{\partial z \partial t} - \frac{1}{c^2} \frac{\partial^2}{\partial t^2} + \frac{1}{2} \left(\frac{\partial^2}{\partial x^2} + \frac{\partial^2}{\partial y^2} \right) \right] f \Big _{z=0} = 0$	
$\left[\frac{1}{c} \frac{\partial^2}{\partial z \partial t} + \frac{1}{c^2} \frac{\partial^2}{\partial t^2} - \frac{1}{2} \left(\frac{\partial^2}{\partial x^2} + \frac{\partial^2}{\partial y^2} \right) \right] f \Big _{z=d} = 0$	

- 在单轴各向异性的媒质中，TE波 ($H_{xz} \neq 0, E_{xz} = 0$) 及TM波 ($H_{xz} = 0, E_{xz} \neq 0$) 的平面波为：

$$\vec{H} = \vec{H}_0 e^{-j\beta_x^i x - j\beta_z^i z}$$

根据算符的等效性： $\nabla \times \vec{E} = -j\vec{k} \times \vec{E}$

$$\vec{\beta}^\alpha \times \vec{E} = \omega \mu_0 \mu_r \vec{H}, \quad \vec{\beta}^\alpha \times \vec{H} = -\omega \varepsilon_0 \varepsilon_r \vec{E}$$

其中， $\beta^\alpha = \vec{x}\beta_x^\alpha + \vec{z}\beta_z^\alpha$ ， $\vec{\varepsilon}$ 和 $\vec{\mu}$ 为介电常数和磁导率张量。

设媒质沿Z轴对称

$$\vec{\varepsilon} = \begin{bmatrix} a & 0 & 0 \\ 0 & a & 0 \\ 0 & 0 & b \end{bmatrix}, \quad \vec{\mu} = \begin{bmatrix} c & 0 & 0 \\ 0 & c & 0 \\ 0 & 0 & d \end{bmatrix}$$

- 得出满足TM波的条件为 ($H_x=0, H_z=0$)

$$k^2 c - a^{-1} \beta_z^{\alpha 2} - \beta_x^{i 2} b^{-1} = 0$$

同理，满足TE波的条件为：

$$k^2 a - c^{-1} \beta_z^{\alpha 2} - \beta_x^{i 2} d^{-1} = 0$$

现在考虑入射波为TM波的情况，设入射面为Z=0的平面：

$$\vec{H} = \vec{y} H_0 e^{-j\beta_x^i x - j\beta_z^i z}$$

则反射波和透射波为：

将 $\beta_z^i = \beta_z^\alpha a^{-1}$ 代入TM波的条件

$$k^2 c - a^{-1} \beta_z^{\alpha 2} - \beta_x^{i 2} b^{-1} = 0$$

得：

$$\beta_z^{i 2} = k^2 c a^{-1} - \beta_x^{i 2} b^{-1} a^{-1}$$

其中， $\beta_z^i = k^2 - \beta_x^{i 2}$ ，可得：

$$c = a, b = a^{-1}$$

同理可得： $c = a, d = c^{-1}$

即当 $\vec{\varepsilon} = \vec{\mu}$ 时可以得到沿xz方向传播的平面波无反射的传输条件：

- 把式中的电场消去，导出磁场波动方程的表示式：

$$\vec{\beta}^\alpha \times \vec{\varepsilon}^{-1} \vec{\beta}^\alpha \times \vec{H} + k^2 \vec{\mu} \vec{H} = 0 \quad \text{TM波}$$

$$k^2 = \omega^2 \mu_0 \mu_r \varepsilon_0 \varepsilon_r$$

用矩阵来表示波动方程式：

$$\begin{bmatrix} k^2 c - a^{-1} \beta_z^{\alpha 2} & 0 & \beta_x^i \beta_z^\alpha a^{-1} \\ 0 & k^2 c - a^{-1} \beta_z^{\alpha 2} - \beta_x^{i 2} b^{-1} & 0 \\ \beta_x^i \beta_z^\alpha a^{-1} & 0 & k^2 d - a^{-1} \beta_x^{i 2} \end{bmatrix} \begin{bmatrix} H_x \\ H_y \\ H_z \end{bmatrix} = 0$$

$$\vec{H}_1 = \hat{y} H_0 (1 + \Gamma e^{2j\beta_z^i z}) e^{-j\beta_x^i x - j\beta_z^i z}$$

$$\vec{E}_1 = \left[\hat{x} \frac{\beta_z^i}{\omega \varepsilon} (1 - \Gamma e^{2j\beta_z^i z}) - \hat{z} \frac{\beta_x^i}{\omega \varepsilon} (1 + \Gamma e^{2j\beta_z^i z}) \right] H_0 e^{-j\beta_x^i x - j\beta_z^i z}$$

$$\vec{H}_2 = \hat{y} H_0 \tau e^{-j\beta_x^i x - j\beta_z^\alpha z}$$

$$\vec{E}_2 = \left[\hat{x} \frac{\beta_z^\alpha a^{-1}}{\omega \varepsilon} - \hat{z} \frac{\beta_x^i b^{-1}}{\omega \varepsilon} \right] H_0 \tau e^{-j\beta_x^i x - j\beta_z^\alpha z}$$

- 根据界面的边界条件可以求得反射系数和透射系数

$$\Gamma = \frac{\beta_z^i - \beta_z^\alpha a^{-1}}{\beta_z^i + \beta_z^\alpha a^{-1}} \quad \tau = 1 + \Gamma = \frac{2\beta_z^i}{\beta_z^i + \beta_z^\alpha a^{-1}}$$

可见，当 $\beta_z^i = \beta_z^\alpha a^{-1}$ 时， $\Gamma = 0$ ，对任意角度入射的入射波都没有反射。

$$\vec{\varepsilon} = \vec{\mu} = \begin{bmatrix} a & 0 & 0 \\ 0 & a & 0 \\ 0 & 0 & \frac{1}{a} \end{bmatrix} \quad a = 1 + \frac{\sigma}{j\omega \varepsilon_0}$$

- 推广到三维情况，在PML中，麦克斯韦方程表示为

$$\nabla \times \vec{H} = j\omega \varepsilon_0 \varepsilon_r \vec{E}, \quad \nabla \times \vec{E} = -j\omega \mu_0 \vec{H}$$

$$\vec{\varepsilon} = \vec{\mu} = \begin{bmatrix} \frac{s_y s_z}{s_x} & 0 & 0 \\ 0 & \frac{s_x s_z}{s_y} & 0 \\ 0 & 0 & \frac{s_x s_y}{s_z} \end{bmatrix}$$

■ 其中

$$s_x = 1 + \frac{\sigma_x}{j\omega\epsilon_o} \quad s_y = 1 + \frac{\sigma_y}{j\omega\epsilon_o} \quad s_z = 1 + \frac{\sigma_z}{j\omega\epsilon_o}$$

可以保证入射到PML中的电磁波几乎得以无反射地吸收。为方便计算可以引入电通量密度将麦克斯韦方程组加以简化：

$$D_x = \epsilon_o \epsilon_r \frac{s_y}{s_x} E_x \quad D_y = \epsilon_o \epsilon_r \frac{s_z}{s_y} E_y \quad D_z = \epsilon_o \epsilon_r \frac{s_x}{s_z} E_z$$

以 E_x 为例来推导其差分格式：

引入电通量密度后，麦克斯韦方程组的磁场旋度方程表示为

$$\nabla \times \vec{H} = j\omega\epsilon_o \epsilon_r \begin{bmatrix} \frac{s_y s_z}{s_x} & 0 & 0 \\ 0 & \frac{s_x s_z}{s_y} & 0 \\ 0 & 0 & \frac{s_x s_y}{s_z} \end{bmatrix} \begin{bmatrix} E_x \\ E_y \\ E_z \end{bmatrix} = j\omega \begin{bmatrix} s_z & 0 & 0 \\ 0 & s_x & 0 \\ 0 & 0 & s_y \end{bmatrix} \begin{bmatrix} D_x \\ D_y \\ D_z \end{bmatrix}$$

■ 又因为：

$$\nabla \times \vec{H} = \left(\frac{\partial H_z}{\partial y} - \frac{\partial H_y}{\partial z} \right) \vec{e}_x + \left(\frac{\partial H_x}{\partial z} - \frac{\partial H_z}{\partial x} \right) \vec{e}_y + \left(\frac{\partial H_y}{\partial x} - \frac{\partial H_x}{\partial y} \right) \vec{e}_z$$

比较上面的两个表达式，取其 D_x 项得

$$\frac{\partial H_z}{\partial y} - \frac{\partial H_y}{\partial z} = j\omega s_z D_x = j\omega \left(1 + \frac{\sigma_z}{j\omega\epsilon_o} \right) D_x$$

$$\frac{\partial H_z}{\partial y} - \frac{\partial H_y}{\partial z} = j\omega \left(1 + \frac{\sigma_z}{j\omega\epsilon_o} \right) D_x$$

■ 做替换 $j\omega \rightarrow \frac{\partial}{\partial t}$ 并差分得 $\frac{\partial D_x}{\partial t} + \frac{\sigma_z}{\epsilon_o} D_x = \frac{\Delta H_z}{\Delta y} - \frac{\Delta H_y}{\Delta z}$

$$\frac{D_x^{n+1} - D_x^n}{\Delta t} + \frac{\sigma_z}{2\epsilon_o} (D_x^{n+1} + D_x^n) = \frac{\Delta H_z}{\Delta y} - \frac{\Delta H_y}{\Delta z}$$

$$D_x^{n+1} = \frac{2\epsilon_o - \sigma_z \Delta t}{2\epsilon_o + \sigma_z \Delta t} D_x^n + \frac{2\epsilon_o \Delta t}{2\epsilon_o + \sigma_z \Delta t} \left(\frac{\Delta H_z}{\Delta y} - \frac{\Delta H_y}{\Delta z} \right)$$

$$D_{x|i+\frac{1}{2},j,k}^{n+1} = \frac{2\epsilon_o - \sigma_z \Delta t}{2\epsilon_o + \sigma_z \Delta t} D_{x|i+\frac{1}{2},j,k}^n + \frac{2\epsilon_o \Delta t}{2\epsilon_o + \sigma_z \Delta t} \left(\frac{H_{z|i+\frac{1}{2},j+\frac{1}{2},k}^{n+1/2} - H_{z|i+\frac{1}{2},j-\frac{1}{2},k}^{n+1/2}}{\Delta y} - \frac{H_{y|i+\frac{1}{2},j,k+\frac{1}{2}}^{n+1/2} - H_{y|i+\frac{1}{2},j,k-\frac{1}{2}}^{n+1/2}}{\Delta z} \right)$$

■ 同理，可得其它电场分量的差分表达式如下：

$$D_{y|i,j+\frac{1}{2},k}^{n+1} = \frac{2\epsilon_o - \sigma_y \Delta t}{2\epsilon_o + \sigma_y \Delta t} D_{y|i,j+\frac{1}{2},k}^n + \frac{2\epsilon_o \Delta t}{2\epsilon_o + \sigma_y \Delta t} \left(\frac{H_{x|i,j+\frac{1}{2},k+\frac{1}{2}}^{n+1/2} - H_{x|i,j+\frac{1}{2},k-\frac{1}{2}}^{n+1/2}}{\Delta z} - \frac{H_{z|i+\frac{1}{2},j+\frac{1}{2},k}^{n+1/2} - H_{z|i+\frac{1}{2},j-\frac{1}{2},k}^{n+1/2}}{\Delta x} \right)$$

$$E_{y|i,j+\frac{1}{2},k}^{n+1} = \frac{2\epsilon_o - \sigma_y \Delta t}{2\epsilon_o + \sigma_y \Delta t} E_{y|i,j+\frac{1}{2},k}^n + \frac{(2\epsilon_o + \sigma_y \Delta t) D_{y|i+\frac{1}{2},j,k}^{n+1} - (2\epsilon_o - \sigma_y \Delta t) D_{y|i+\frac{1}{2},j,k}^n}{(2\epsilon_o + \sigma_z \Delta t) \epsilon_o \epsilon_r}$$

由 $D_x = \epsilon_o \epsilon_r \frac{s_y}{s_x} E_x$ 得 $j\omega \left(1 + \frac{\sigma_x}{j\omega\epsilon_o} \right) D_x = \epsilon_o \epsilon_r j\omega \left(1 + \frac{\sigma_y}{j\omega\epsilon_o} \right) E_x$

$$\text{即：} \quad \frac{\partial D_x}{\partial t} + \frac{\sigma_x}{\epsilon_o} D_x = \epsilon_o \epsilon_r \left(\frac{\partial E_x}{\partial t} + \frac{\sigma_y E_x}{\epsilon_o} \right)$$

■ 因此： $E_x^{n+1} = \frac{2\epsilon_o - \sigma_y \Delta t}{2\epsilon_o + \sigma_y \Delta t} E_x^n + \frac{1}{(2\epsilon_o + \sigma_y \Delta t) \epsilon_o \epsilon_r} \left((2\epsilon_o + \sigma_x \Delta t) D_x^{n+1} - (2\epsilon_o - \sigma_x \Delta t) D_x^n \right)$

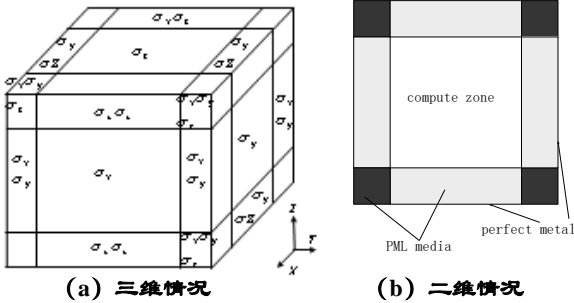
$$E_{x|i+1/2,j,k}^{n+1} = \frac{2\epsilon_o - \sigma_y \Delta t}{2\epsilon_o + \sigma_y \Delta t} E_{x|i+1/2,j,k}^n + \frac{(2\epsilon_o + \sigma_x \Delta t) D_{x|i+1/2,j,k}^{n+1} - (2\epsilon_o - \sigma_x \Delta t) D_{x|i+1/2,j,k}^n}{(2\epsilon_o + \sigma_y \Delta t) \epsilon_o \epsilon_r}$$

$$D_{z|i,j,k+\frac{1}{2}}^{n+1} = \frac{2\epsilon_o - \sigma_z \Delta t}{2\epsilon_o + \sigma_z \Delta t} D_{z|i,j,k+\frac{1}{2}}^n + \frac{2\epsilon_o \Delta t}{2\epsilon_o + \sigma_z \Delta t} \left(\frac{H_{x|i+\frac{1}{2},j,k+\frac{1}{2}}^{n+1/2} - H_{x|i+\frac{1}{2},j,k-\frac{1}{2}}^{n+1/2}}{\Delta x} - \frac{H_{y|i+\frac{1}{2},j+\frac{1}{2},k+\frac{1}{2}}^{n+1/2} - H_{y|i+\frac{1}{2},j+\frac{1}{2},k-\frac{1}{2}}^{n+1/2}}{\Delta y} \right)$$

$$E_{z|i,j,k+\frac{1}{2}}^{n+1} = \frac{2\epsilon_o - \sigma_z \Delta t}{2\epsilon_o + \sigma_z \Delta t} E_{z|i,j,k+\frac{1}{2}}^n + \frac{(2\epsilon_o + \sigma_z \Delta t) D_{z|i+\frac{1}{2},j,k+\frac{1}{2}}^{n+1} - (2\epsilon_o - \sigma_z \Delta t) D_{z|i+\frac{1}{2},j,k+\frac{1}{2}}^n}{(2\epsilon_o + \sigma_x \Delta t) \epsilon_o \epsilon_r}$$

2 PML的空间布局及电导率的选取

- 对于三维的PML边界条件，整个边界分成26块，6个面，8个角，12条棱。其中最外层用理想导体封闭。



- 在PML物质中，介电常数 ϵ 和磁导率 μ 分别为计算空间（真空）中的数值。
- 实验表明，如果 σ 为常数，由于电磁场量和电磁参数的离散近似导致在自由空间和PML的边界处产生阻抗不匹配，在边界处引起较大的反射。
- 因此，在PML中 σ 是由自由空间到最外层边界逐渐增加的。PML的特点是：
 - 在棱区域中与坐标轴平行方向的电导率分量为零，只存在与坐标轴垂直的电导率分量，并且随着进入PML的深度增加而增大，在PML与计算空间的交界处为最小值，在最外层达到最大值；
 - 在角区域中存在着沿两个方向变化的电导率，这不难推广到三维空间。

- PML吸收层中电导率的选取可以依据经验公式：

$$\sigma(\rho) = \sigma_{\max} \left(\frac{\rho}{\delta} \right)^m$$

其中， ρ 为进入到PML层的深度， δ 为PML吸收层的厚度， σ_{\max} 为固定参数， m 一般选为4。在PML层与计算空间的交界处为零， σ 在PML层与PEC的交界处为最大值。

PML吸收层的反射系数为：

$$R(\theta) = \exp \left[-2\epsilon_r \cos \theta \sqrt{\frac{\mu_0}{\epsilon_0}} \int_0^\delta \sigma(\rho) d\rho \right]$$

- 将经验公式代入可得反射系数为：

$$R(\theta) = \exp \left(-\frac{2\sigma_{\max} \delta \epsilon_r \cos \theta}{m+1} \sqrt{\frac{\mu}{\epsilon}} \right)$$

$$\sigma_{\max} = -\frac{(m+1) \ln[R(0)]}{2\sqrt{\frac{\mu}{\epsilon}}}$$

例如：取 $R(0)=10^{-2}$ ， $m=4$ 。PML层为9层。

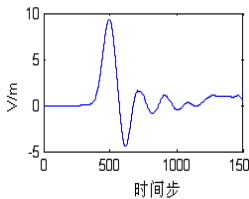
3. PML-FDTD的验证方法

(1) 收敛性的验证

- 为验证算法的收敛性，利用高斯脉冲作为激励源，由于激励源只占据一个空间线度，可以采用强迫设置的方法。例如，在柱坐标系下，计算空间为 $30 \times 30 \times 30$ 。高斯脉冲激励源位于 $(0,10,15)$ 处。

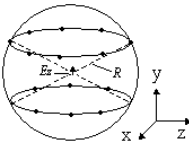
$$E_z = E_0 \exp \left(-\frac{(t-t_0)^2}{T^2} \right)$$

其中 $t_0=3T$ ； $E_0=100V/m$ ；空间步长 $N/20$ ，PML取9层。观察计算区间内坐标为 $(5,10,15)$ 点的电场在激励源作用前后的数值如图所示。可见激励消失后，观察点的电场也逐渐趋于零，算法满足收敛性的条件。



(2) 对称性的验证

- 用等距离线法验证算法的对称性，在距离激励源为 $R=8$ 个空间步长，与 z 轴垂直的圆环上取若干个取样点，计算这些点的场值。
- 计算1000时间步的结果如表所示，其中前3行是位于上部圆环上点的电场值（第一组），后3行是位于下部圆环上点的值（第二组）。

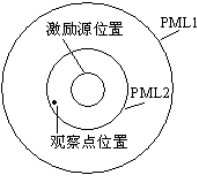


-0.2400e ⁰	-0.2400e ⁰	-0.2400e ⁰	-0.2400e ⁰	-0.2400e ⁰
-0.2400e ⁰	-0.2400e ⁰	-0.2400e ⁰	-0.2400e ⁰	-0.2400e ⁰
-0.2400e ⁰	-0.2400e ⁰	-0.2400e ⁰	-0.2400e ⁰	-0.2400e ⁰
-0.2408e ⁰	-0.2408e ⁰	-0.2408e ⁰	-0.2408e ⁰	-0.2408e ⁰
-0.2408e ⁰	-0.2408e ⁰	-0.2408e ⁰	-0.2408e ⁰	-0.2408e ⁰
-0.2408e ⁰	-0.2408e ⁰	-0.2408e ⁰	-0.2408e ⁰	-0.2408e ⁰

- 由于点激励源在数值空间中占有一定的线度，并且沿不同的方向存在不同的色散误差，因此两组数据并不严格相等，可见误差小于0.33%，对称性较好。从下面反射特性的测试中可以看出，误差精度能够满足一般工程上的要求。

(3) PML吸收程度的测试

在柱坐标系下，为模拟柱面波的传播，将柱面波源设在总场-散射场连接边界上。程序中设置两套计算空间，要考察的PML所在的空间（第二套计算空间，PML2）位于另一套计算空间（第一套计算空间，PML1）之中，其平面图如图所示。



- 为了满足测试精度，第一套计算空间必须足够大，以至于PML1的反射波到达不了观察点。
- 取第一套计算空间为50×30×90个网格，第二套计算空间取16×30×90个网格。空间步长取λ/20，设柱面波沿径向传播，激励源位于总场-散射场连接边界上，该连接边界在径向占3个网格，轴向占6个网格。柱面波源采用调制高斯脉冲：

$$E_z = E_0 \exp\left(-\frac{(t-t_0)^2}{T^2}\right) \sin(\omega(t-t_0))$$
$$\Delta t = \frac{1}{c} \left(\frac{1}{\Delta r^2} + \frac{4}{(\Delta r \Delta \beta)^2} + \frac{1}{\Delta z^2} \right)^{-1/2}$$

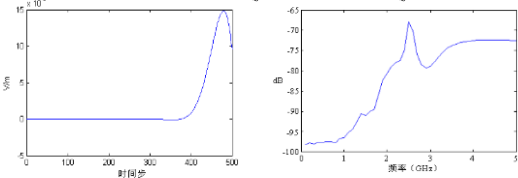
计算可知，源点的扰动经过PML1反射后至少需600个时间步才能影响到观察点。在测试时取500个时间步，并保证PML2反射波的最大值已经达到了观察点。

- 由PML2引起的反射波模值为：

$$\Delta E_z(n) = |E'_z(n) - E_z(n)|$$

$E'_z(n)$ 为第二套计算空间中得到的电场（总场）， $E_z(n)$ 为在第一套计算空间中得到的电场。可通过快速傅立叶变换（FFT）计算期望频率范围内PML的反射系数：反射误差-80dB

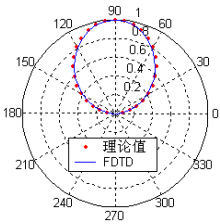
$$s = 20 \log(FFT[\Delta E_z(n)] / FFT[E'_z(n)])$$



(4) 半波天线方向图的计算

- 通过FDTD计算半波天线的方向图，并与理论值相比较可以验证FDTD及近场-远场程序与算法的正确性。每隔3度取一个数据点，利用傅立叶变换可以得到在调制频率处的方向图。
- 半波天线方向图的理论值为：

$$F(\theta, \varphi) = \frac{\cos(kl \cos \theta) - \cos(kl)}{\sin \theta}$$



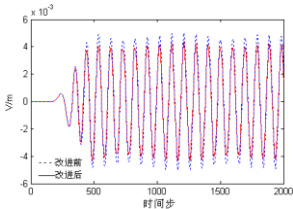
(5) PML吸收效果的改善

- 为了进一步减少PML引起的反射，这里用一阶Mur边界条件代替了PML最外层的PEC。

设激励源采用正弦电场： $E_z = E_0 \sin(\omega(t-t_0))$

计算空间的场值为复数，虚部为反射回波

减小了近20%的反射强度。



4.FDTD的激励源

- FDTD是对时域电磁波在空间中传输情况进行仿真的数值算法，能直观地仿真电磁波的时空信息。有源的激励才能有电磁波的传输。

1、时谐场源

$$U_{inc}(t) = \begin{cases} A \sin(\omega t) & t \geq 0 \\ 0 & \text{other} \end{cases}$$

激励源

- 2、脉冲源
- 高斯脉冲

$$U_{inc}(t) = \exp\left(-\frac{4\pi(t-t_0)^2}{\tau^2}\right) \quad \tau = 2/f_{\max}, t_0 = \tau$$

- 升余弦脉冲

$$U_{inc}(t) = \begin{cases} 0.5(1 - \cos(2\pi t/\tau)) & 0 \leq t \leq \tau \\ 0 & \text{other} \end{cases} \quad \tau = 2/f_{\max}, \text{first zero}$$

激励源

- 双指数脉冲

$$U_{inc}(t) = A(\exp(-\alpha t) - \exp(-\beta t))$$

$$A_0 = 5.25 \text{ eV/m}, \alpha = 4 \text{ e}^6 \text{ s}^{-1}, \beta = 4.76 \text{ e}^8 \text{ s}^{-1}$$

Bell波形，应用在核电脉冲和雷电脉冲的研究

激励源

- 微分高斯脉冲

$$U_{inc}(t) = \frac{t-t_0}{\tau} \exp\left(-\frac{4\pi(t-t_0)^2}{\tau^2}\right)$$

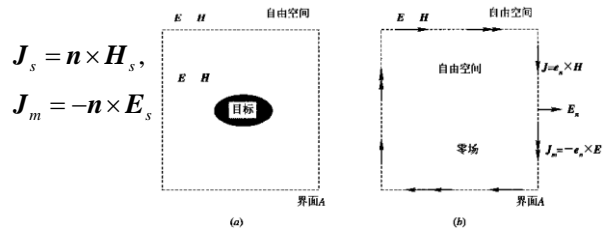
- 截断三余弦脉冲

$$U_{inc}(t) = \begin{cases} \beta(10 - 15\cos(\omega_1 t) + 6\cos(\omega_2 t) - \cos(\omega_3 t)) & 0 \leq t \leq \tau \\ 0 & \text{other} \end{cases}$$

$$\omega_1 = 2\pi/\tau, \tau = 3/f_{\max}$$

5.近场-远场转换

- 可以利用等效电流和等效磁流来完成近场-远场的转换。在用一个假想的闭合面S把散射体包围住；
- 先由FDTD方法求出表面S上的切向电场 E_s 和切向磁场 H_s ，然后根据等效原理，可以求得S面上的等效电流密度和等效磁流密度：



根据等效电流和等效磁流，得到辐射矢A和F为：

$$A = \int_S J_s e^{jk(r' \cdot r)} dS \quad F = \int_S J_m e^{jk(r' \cdot r)} dS$$

r 是原点到远场点的单位矢， r' 是原点到S面上积分源点的矢量。

$$\begin{aligned} E &= -\nabla \times F + \frac{1}{j\omega\epsilon} \nabla \times \nabla \times A \\ &= -\nabla \times F - j\omega\mu A + \frac{1}{j\omega\epsilon} \nabla(\nabla \cdot A) \\ H &= \nabla \times A + \frac{1}{j\omega\mu} \nabla \times \nabla \times F \\ &= \nabla \times A - j\omega\epsilon F + \frac{1}{j\omega\mu} \nabla(\nabla \cdot F) \end{aligned}$$

对于辐射场的频域表示，可以对其求逆傅立叶变换得到时域为：

$$\begin{aligned} A(r, t) &= \frac{1}{4\pi rc} \frac{\partial}{\partial t} \left[\iint_S J_s(t - \frac{r-r' \cdot r}{c}) dS \right] \\ F(r, t) &= \frac{1}{4\pi rc} \frac{\partial}{\partial t} \left[\iint_S J_m(t - \frac{r-r' \cdot r}{c}) dS \right] \end{aligned}$$

- 根据辐射矢在球坐标系下的分量可以求得远场为：

$$\begin{aligned} A_\theta &= A_{r\text{柱}} \cos\theta - A_{z\text{柱}} \sin\theta \\ F_\theta &= F_{r\text{柱}} \cos\theta - F_{z\text{柱}} \sin\theta \\ A_\phi &= A_{\phi\text{柱}}, \quad F_\phi = F_{\phi\text{柱}} \end{aligned}$$

根据辐射势和电场的关系，远区散射电场为：

利用关系式： $\nabla \times \vec{E} = j\vec{k} \times \vec{E}$

$$\vec{E} = j\vec{k} \times \vec{F} - j\omega\mu\vec{A} - \frac{\vec{k}}{j\omega\epsilon}(\vec{k} \cdot \vec{A})$$

$$\vec{H} = -j\vec{k} \times \vec{A} - j\omega\epsilon\vec{F} - \frac{\vec{k}}{j\omega\mu}(\vec{k} \cdot \vec{F})$$

$$j\omega\mu\vec{A} + \frac{\vec{k}}{j\omega\epsilon}(\vec{k} \cdot \vec{A}) = j\omega\mu\vec{A} + \vec{e}_r \frac{k^2}{j\omega\epsilon} A_r = j\omega\mu(\vec{e}_\theta A_\theta + \vec{e}_\phi A_\phi)$$

$$j\vec{k} \times \vec{F} = j\vec{k} \times (\vec{e}_r F_r + \vec{e}_\theta F_\theta + \vec{e}_\phi F_\phi) = j\vec{k}(\vec{e}_\phi F_\theta - \vec{e}_\theta F_\phi)$$

得到： $E_\theta(r, t) = -\eta_0 A_\theta(r, t) - F_\phi(r, t)$

$$E_\phi(r, t) = -\eta_0 A_\phi(r, t) + F_\theta(r, t)$$

- 在圆柱坐标系下，FDTD仿真区中的PML必须在两个方向的边界面截断，即在沿 r 、 z 方向上边界面截断。
- 采用如下的相对介电常数和相对导磁率张量：

$$\epsilon = \mu = \begin{bmatrix} \frac{s_z}{s_r} & 0 & 0 \\ 0 & s_z s_r & 0 \\ 0 & 0 & \frac{s_r}{s_z} \end{bmatrix}$$

$$s_r = 1 + \frac{\sigma_r}{j\omega\epsilon_0} \quad s_z = 1 + \frac{\sigma_z}{j\omega\epsilon_0}$$

其中：

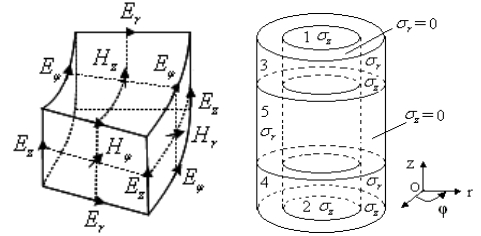
- 引入如下的电通量密度

$$D_r = \epsilon_0 \epsilon_r \frac{1}{s_r} E_r \quad D_\phi = \epsilon_0 \epsilon_r s_z E_\phi \quad D_z = \epsilon_0 \epsilon_r \frac{1}{s_z} E_z$$

$$\begin{bmatrix} \frac{1}{r} \frac{\partial H_z}{\partial \phi} - \frac{\partial H_\phi}{\partial z} \\ \frac{\partial H_r}{\partial z} - \frac{\partial H_z}{\partial r} \\ \frac{H_\phi}{r} + \frac{\partial H_\phi}{\partial r} - \frac{1}{r} \frac{\partial H_r}{\partial \phi} \end{bmatrix} = j\omega\epsilon_0 \epsilon_r \begin{bmatrix} s_z & 0 & 0 \\ 0 & s_r & 0 \\ 0 & 0 & s_r \end{bmatrix} \begin{bmatrix} D_r \\ D_\phi \\ D_z \end{bmatrix}$$

5.7 圆柱坐标系下的PML吸收边界条件

- 在圆柱坐标系下坐标变量分别为 r 、 ϕ 、 z ，假设介质为各向同性的均匀媒质。圆柱坐标系下Yee氏网格如图所示。



- 克斯韦方程组表示成张量形式为

$$\nabla \times \vec{E} = -j\omega\mu_0 \mu_r \vec{H}, \quad \nabla \times \vec{H} = j\omega\epsilon_0 \epsilon_r \vec{E}$$

利用变换关系 $j\omega \rightarrow \frac{\partial}{\partial t}$

磁场旋度方程

$$\nabla \times \vec{H} = \left(\frac{1}{r} \frac{\partial H_z}{\partial \phi} - \frac{\partial H_\phi}{\partial z} \right) \vec{e}_r + \left(\frac{\partial H_r}{\partial z} - \frac{\partial H_z}{\partial r} \right) \vec{e}_\phi + \frac{1}{r} \left(\frac{\partial(rH_\phi)}{\partial r} - \frac{\partial H_r}{\partial \phi} \right) \vec{e}_z = j\omega\epsilon_0 \epsilon_r \vec{E}$$

$$\begin{bmatrix} \frac{1}{r} \frac{\partial H_z}{\partial \phi} - \frac{\partial H_\phi}{\partial z} \\ \frac{\partial H_r}{\partial z} - \frac{\partial H_z}{\partial r} \\ \frac{H_\phi}{r} + \frac{\partial H_\phi}{\partial r} - \frac{1}{r} \frac{\partial H_r}{\partial \phi} \end{bmatrix} = j\omega\epsilon_0 \epsilon_r \begin{bmatrix} \frac{s_z}{s_r} & 0 & 0 \\ 0 & s_z s_r & 0 \\ 0 & 0 & \frac{s_r}{s_z} \end{bmatrix} \begin{bmatrix} E_r \\ E_\phi \\ E_z \end{bmatrix}$$

- 表示为时域形式为

$$\begin{bmatrix} \frac{1}{r} \frac{\partial H_z}{\partial \phi} - \frac{\partial H_\phi}{\partial z} \\ \frac{\partial H_r}{\partial z} - \frac{\partial H_z}{\partial r} \\ \frac{H_\phi}{r} + \frac{\partial H_\phi}{\partial r} - \frac{1}{r} \frac{\partial H_r}{\partial \phi} \end{bmatrix} = \frac{\partial}{\partial t} \begin{bmatrix} 1 & 0 & 0 \\ 0 & 1 & 0 \\ 0 & 0 & 1 \end{bmatrix} \begin{bmatrix} D_r \\ D_\phi \\ D_z \end{bmatrix} + \frac{1}{\epsilon_0} \begin{bmatrix} \sigma_z & 0 & 0 \\ 0 & \sigma_r & 0 \\ 0 & 0 & \sigma_r \end{bmatrix} \begin{bmatrix} D_r \\ D_\phi \\ D_z \end{bmatrix}$$

中的第一项为： $\frac{\partial D_r}{\partial t} + \frac{\sigma_z}{\epsilon_0} D_r = \frac{1}{r} \frac{\partial H_z}{\partial \phi} - \frac{\partial H_\phi}{\partial z}$

表示成差分格式

$$\frac{D_{r(i+1/2, j, k)}^{n+1} - D_{r(i+1/2, j, k)}^n}{\Delta t} + \frac{\sigma_z}{2\epsilon_0} (D_{r(i+1/2, j, k)}^{n+1} + D_{r(i+1/2, j, k)}^n) = \frac{1}{(r+1/2)\Delta\phi} (H_{z(i+1/2, j+1/2, k)}^{n+1/2} - H_{z(i+1/2, j-1/2, k)}^{n+1/2}) - \frac{1}{\Delta z} (H_{\phi(i+1/2, j, k+1/2)}^{n+1/2} - H_{\phi(i+1/2, j, k-1/2)}^{n+1/2})$$

- 整理得：

$$D_{r|i+1/2,j,k}^{n+1} = \frac{2\varepsilon_0 - \sigma_z \Delta t}{2\varepsilon_0 + \sigma_z \Delta t} D_{r|i+1/2,j,k}^n + \frac{2\varepsilon_0 \Delta t}{2\varepsilon_0 + \sigma_z \Delta t} \left\{ \frac{1}{(r+1/2)\Delta\varphi} (H_{z|i+1/2,j+1/2,k}^{n+1/2} - H_{z|i+1/2,j-1/2,k}^{n+1/2}) - \frac{1}{\Delta z} (H_{\varphi|i+1/2,j,k+1/2}^{n+1/2} - H_{\varphi|i+1/2,j,k-1/2}^{n+1/2}) \right\}$$

由于： $(1 + \frac{\sigma_r}{j\omega\varepsilon_0})D_r = \varepsilon_0 \varepsilon_r E_r$

两边同乘以 $j\omega$ ，并转换到时域，

$$E_{r|i+1/2,j,k}^{n+1} = E_{r|i+1/2,j,k}^n + \frac{1}{\varepsilon_0 \varepsilon_r} \left\{ \frac{2\varepsilon_0 + \sigma_r \Delta t}{2\varepsilon_0} D_{r|i+1/2,j,k}^{n+1} - \frac{2\varepsilon_0 - \sigma_r \Delta t}{2\varepsilon_0} D_{r|i+1/2,j,k}^n \right\}$$

磁场分量在PML中的FDTD格式

$$B_{r|i,j+1/2,k+1/2}^{n+1/2} = \frac{2\varepsilon_0 - \sigma_z dt}{2\varepsilon_0 + \sigma_z dt} B_{r|i,j+1/2,k+1/2}^{n-1/2} - \frac{2\varepsilon_0 dt}{2\varepsilon_0 + \sigma_z dt} \times \left\{ \frac{E_{z|i,j+1,k+1/2}^n - E_{z|i,j,k+1/2}^n}{rd\varphi} - \frac{E_{\varphi|i,j+1/2,k+1}^n - E_{\varphi|i,j+1/2,k}^n}{dz} \right\}$$

$$H_{r|i,j+1/2,k+1/2}^{n+1/2} = H_{r|i,j+1/2,k+1/2}^{n-1/2} + \frac{1}{\mu_0 \mu_r} \left\{ \frac{2\varepsilon_0 + \sigma_r dt}{2\varepsilon_0} B_{r|i,j+1/2,k+1/2}^{n+1/2} - \frac{2\varepsilon_0 - \sigma_r dt}{2\varepsilon_0} B_{r|i,j+1/2,k+1/2}^{n-1/2} \right\}$$

$$B_{\varphi|i+1/2,j,k+1/2}^{n+1/2} = \frac{2\varepsilon_0 - \sigma_r dt}{2\varepsilon_0 + \sigma_r dt} B_{\varphi|i+1/2,j,k+1/2}^{n-1/2} - \frac{2\varepsilon_0 dt}{2\varepsilon_0 + \sigma_r dt} \times \left\{ \frac{E_{r|i+1/2,j,k+1}^n - E_{r|i+1/2,j,k}^n}{dz} - \frac{E_{z|i+1,j,k+1/2}^n - E_{z|i,j,k+1/2}^n}{dr} \right\}$$

- 选取

$$\sigma_r = \sigma_{\max} \left(\frac{r - r_0}{r_1 - r_0} \right)^m \quad \sigma_z = \sigma_{\max} \left(\frac{z - z_0}{z_1 - z_0} \right)^m$$

在PML与PEC的交界处取最大值,在PML与计算空间的交界处为零

$$\sigma_{\max} = -\frac{(m+1) \ln[R(0)]}{150\pi \Delta \sqrt{\varepsilon_r}}$$

- 同理， D_φ ， E_φ ， D_z ， E_z 的差分表达式为

$$D_{\varphi|i,j+1/2,k}^{n+1} = \frac{2\varepsilon_0 - \sigma_r \Delta t}{2\varepsilon_0 + \sigma_r \Delta t} D_{\varphi|i,j+1/2,k}^n + \frac{2\varepsilon_0 \Delta t}{2\varepsilon_0 + \sigma_r \Delta t} \times \left\{ \frac{1}{\Delta z} (H_{r|i,j+1/2,k+1/2}^{n+1/2} - H_{r|i,j+1/2,k-1/2}^{n+1/2}) - \frac{1}{\Delta r} (H_{z|i+1/2,j+1/2,k}^{n+1/2} - H_{z|i-1/2,j+1/2,k}^{n+1/2}) \right\}$$

$$E_{\varphi|i,j+1/2,k}^{n+1} = \frac{2\varepsilon_0 - \sigma_z \Delta t}{2\varepsilon_0 + \sigma_z \Delta t} E_{\varphi|i,j+1/2,k}^n + \frac{1}{\varepsilon_r} \frac{2}{2\varepsilon_0 + \sigma_z \Delta t} \{ D_{\varphi|i,j+1/2,k}^{n+1} - D_{\varphi|i,j+1/2,k}^n \}$$

$$D_{z|i,j,k+1/2}^{n+1} = \frac{2\varepsilon_0 - \sigma_r \Delta t}{2\varepsilon_0 + \sigma_r \Delta t} D_{z|i,j,k+1/2}^n + \frac{2\varepsilon_0 \Delta t}{2\varepsilon_0 + \sigma_r \Delta t} \times \left\{ \left(\frac{1}{2r} + \frac{1}{\Delta r} \right) H_{\varphi|i+1/2,j,k+1/2}^{n+1/2} + \left(\frac{1}{2r} - \frac{1}{\Delta r} \right) H_{\varphi|i-1/2,j,k+1/2}^{n+1/2} - \frac{1}{r\Delta\varphi} (H_{r|i,j+1/2,k+1/2}^{n+1/2} - H_{r|i,j-1/2,k+1/2}^{n+1/2}) \right\}$$

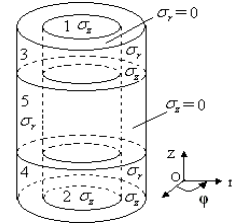
$$E_{z|i,j,k+1/2}^{n+1} = E_{z|i,j,k+1/2}^n + \frac{1}{\varepsilon_0 \varepsilon_r} \left\{ \frac{2\varepsilon_0 + \sigma_z \Delta t}{2\varepsilon_0} D_{z|i,j,k+1/2}^{n+1} - \frac{2\varepsilon_0 - \sigma_z \Delta t}{2\varepsilon_0} D_{z|i,j,k+1/2}^n \right\}$$

$$H_{\varphi|i+1/2,j,k+1/2}^{n+1/2} = \frac{2\varepsilon_0 - \sigma_z dt}{2\varepsilon_0 + \sigma_z dt} H_{\varphi|i+1/2,j,k+1/2}^{n-1/2} + \frac{2\varepsilon_0}{(2\varepsilon_0 + \sigma_z dt)\mu_0 \mu_r} \{ B_{\varphi|i+1/2,j,k+1/2}^{n+1/2} - B_{\varphi|i+1/2,j,k+1/2}^{n-1/2} \}$$

$$B_{z|i+1/2,j+1/2,k}^{n+1/2} = \frac{2\varepsilon_0 - \sigma_r dt}{2\varepsilon_0 + \sigma_r dt} B_{z|i+1/2,j+1/2,k}^{n-1/2} - \frac{2\varepsilon_0 dt}{2\varepsilon_0 + \sigma_r dt} \left\{ \left(\frac{1}{2(r+1/2)} + \frac{1}{dr} \right) E_{\varphi|i+1/2,j+1/2,k}^n + \left(\frac{1}{2(r-1/2)} - \frac{1}{dr} \right) E_{\varphi|i-1/2,j+1/2,k}^n - \frac{1}{rd\varphi} (E_{r|i+1/2,j+1,k}^n - E_{r|i-1/2,j+1,k}^n) \right\}$$

$$H_{z|i+1/2,j+1/2,k}^{n+1/2} = H_{z|i+1/2,j+1/2,k}^{n-1/2} + \frac{1}{\mu_0 \mu_r} \left\{ \frac{2\varepsilon_0 + \sigma_r dt}{2\varepsilon_0} B_{z|i+1/2,j+1/2,k}^{n+1/2} - \frac{2\varepsilon_0 - \sigma_r dt}{2\varepsilon_0} B_{z|i+1/2,j+1/2,k}^{n-1/2} \right\}$$

- 把PML分成五个区域，即一个棱区域（区域5），二个面区域（区域1、2）二个角区域（区域3、4），如图所示



在区域1、2只存在沿轴向变化的电导率 σ_z

在区域5只存在沿径向变化的电导率 σ_r

角区域3、4存在沿两个方向变化的电导率 σ_z σ_r

FDTD计算时间步长的选取

- 在径向不同的单元网格上，沿角方向的横向长度单元是不同的，因此，要取最小的值来计算；
- Yee氏网格横向长度对应为

$$i\Delta r \times \Delta\beta$$

时间步长的取值如下：

$$\Delta t \leq \frac{1}{c} \left(\frac{1}{\Delta r^2} + \frac{4}{(\Delta r \Delta\beta)^2} + \frac{1}{\Delta z^2} \right)^{-1/2}$$

$$\varepsilon \frac{\partial}{\partial t} \int_0^{r_0} \int_0^{2\pi} E_z(0, z, t) r d\varphi dr = \int_0^{2\pi} H_\varphi(r_0, z, t) dl$$

其中 $r_0 = \Delta r / 2$ 积分得

$$\frac{r_0}{2} \varepsilon \frac{\partial}{\partial t} E_z(0, z, t) = H_\varphi(r_0, z, t)$$

进行差分得：

$$E_z|_{0,j,k+1/2}^{n+1} = E_z|_{0,j,k+1/2}^n + \frac{4\Delta t}{\varepsilon\Delta r} H_\varphi|_{1/2,j,k+1/2}^{n+1/2}$$

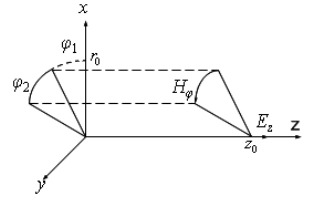
FDTD差分格式中奇点的去除

- 在轴向上，距离数 $i = 0$

$$r = i \times \Delta r = 0$$

在计算中会出现奇点，用安培定律来去除

$$\oint_{\Gamma} \mathbf{H} \cdot d\mathbf{l} = \varepsilon \frac{\partial}{\partial t} \iint_S \mathbf{E} \cdot d\mathbf{S}$$



作业4

- 推导FDTD的MUR1吸收边界公式